

8/327525

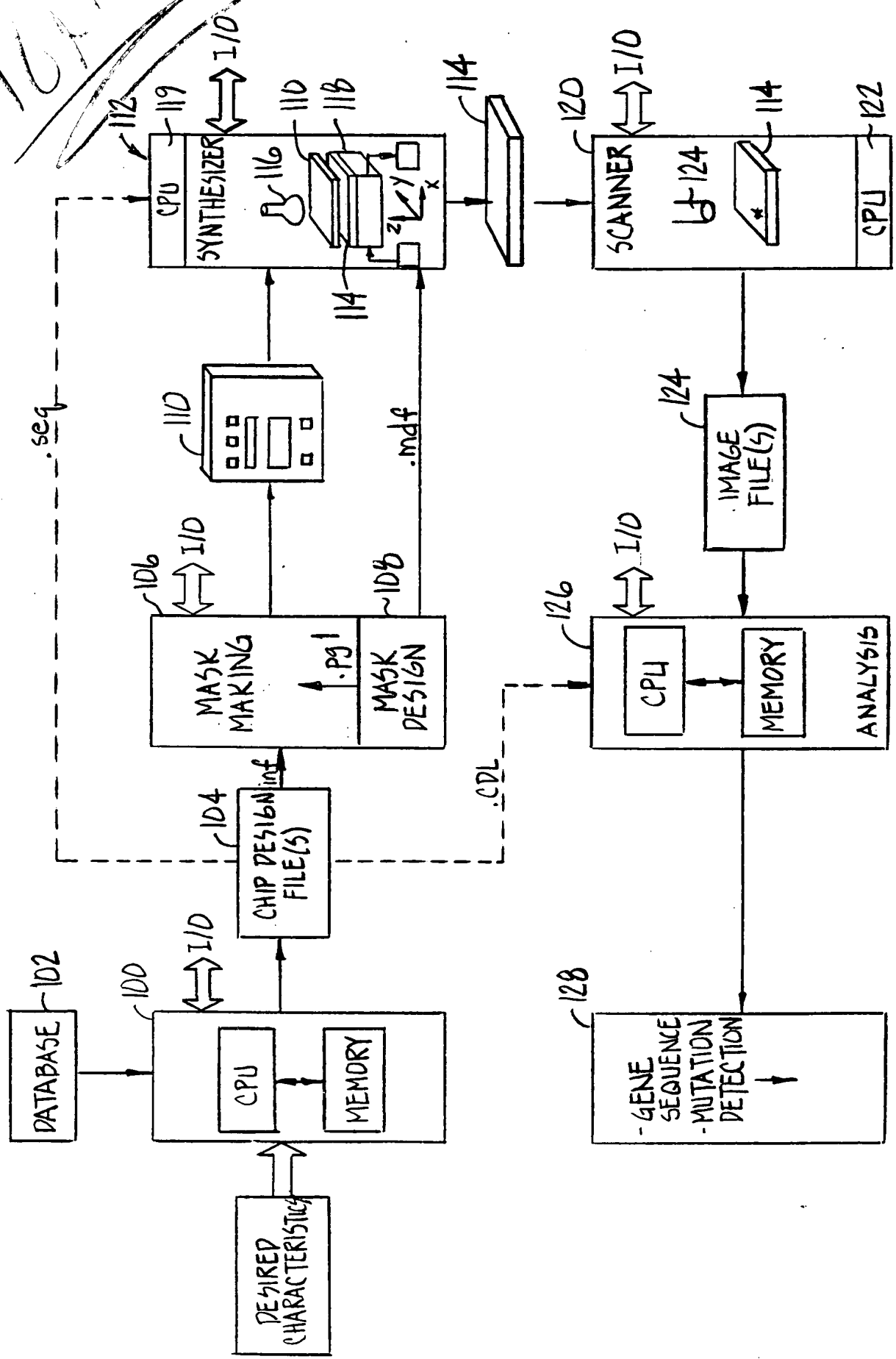


FIG. 1

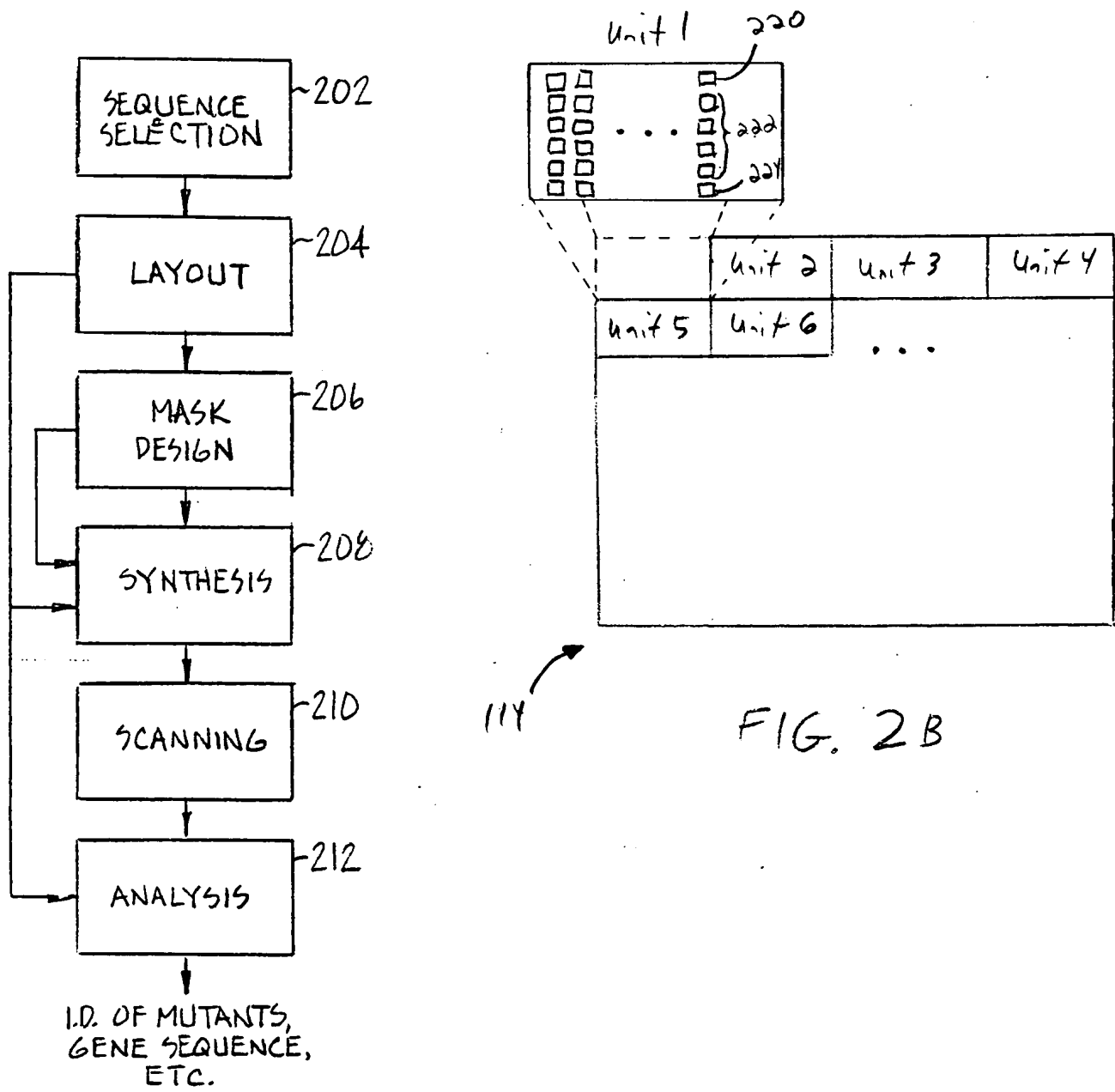
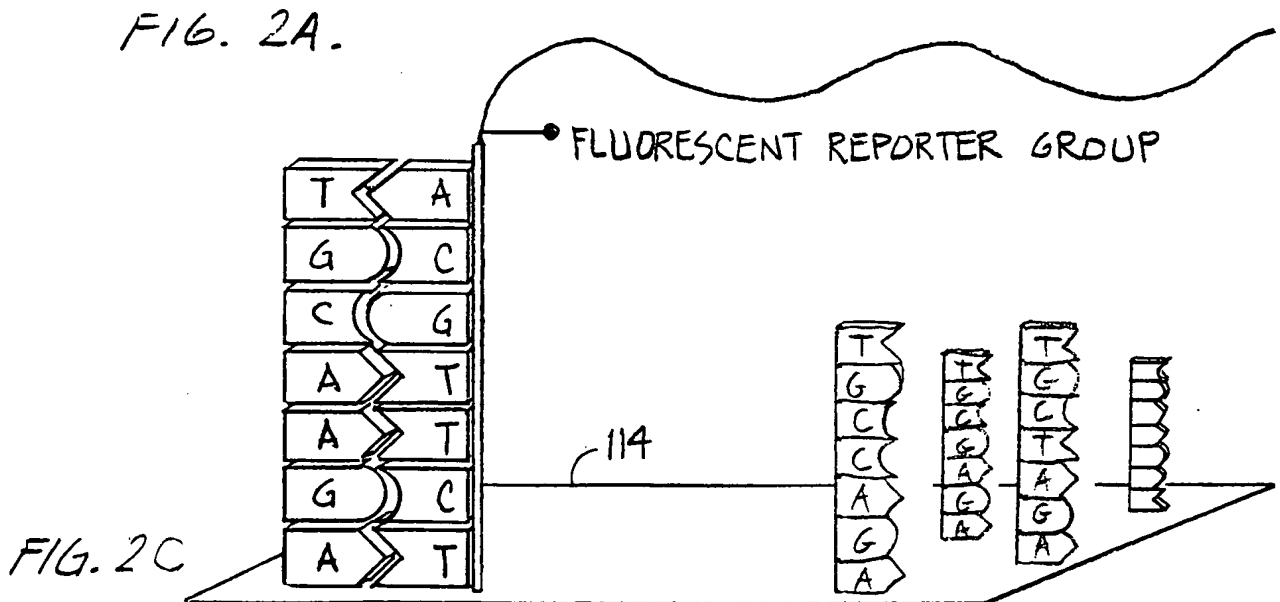


FIG. 2A.



Intensity Ratio
Method

08/327525

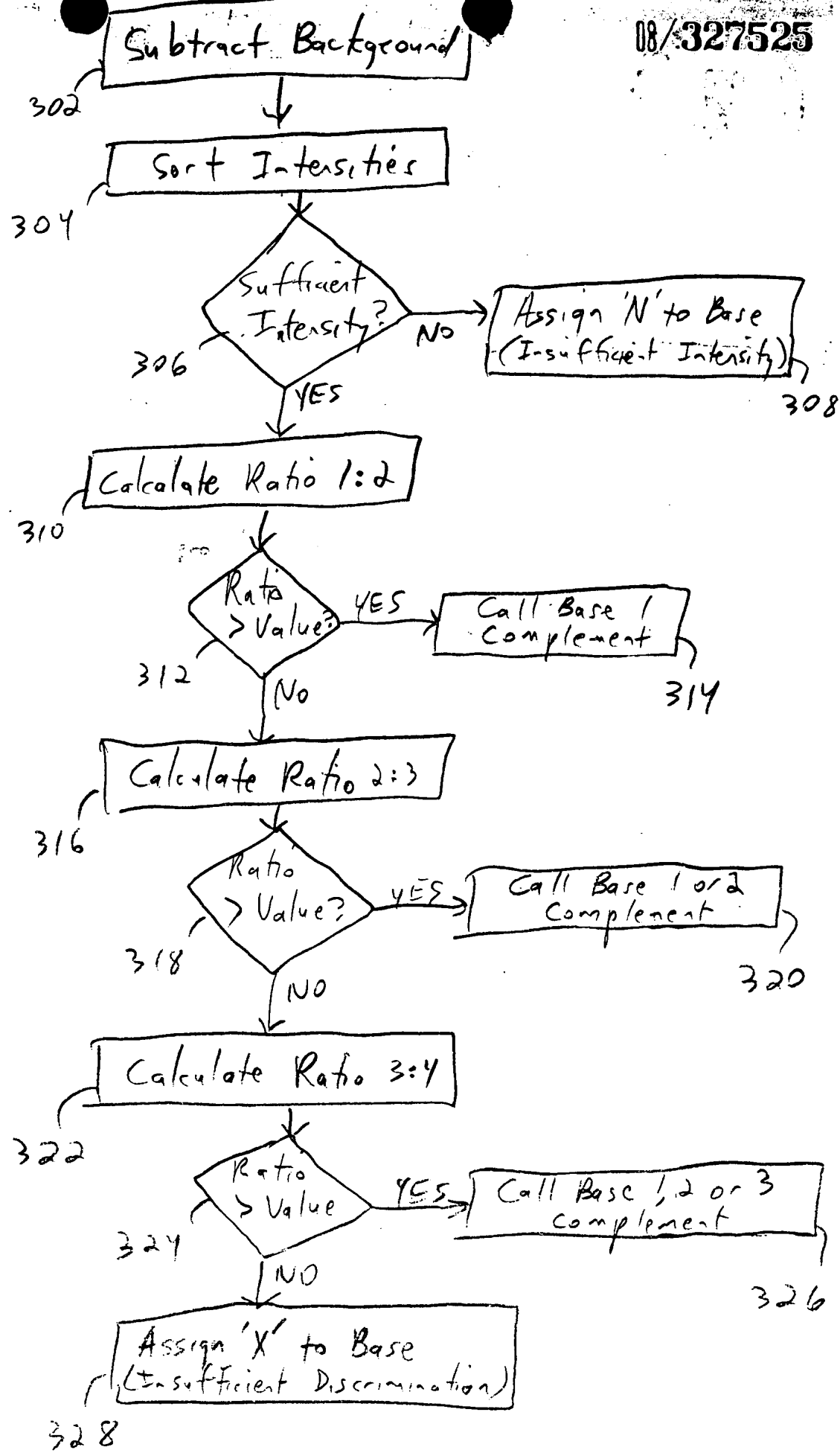


Fig. 3

328

326

Subtract Background

Reference Method

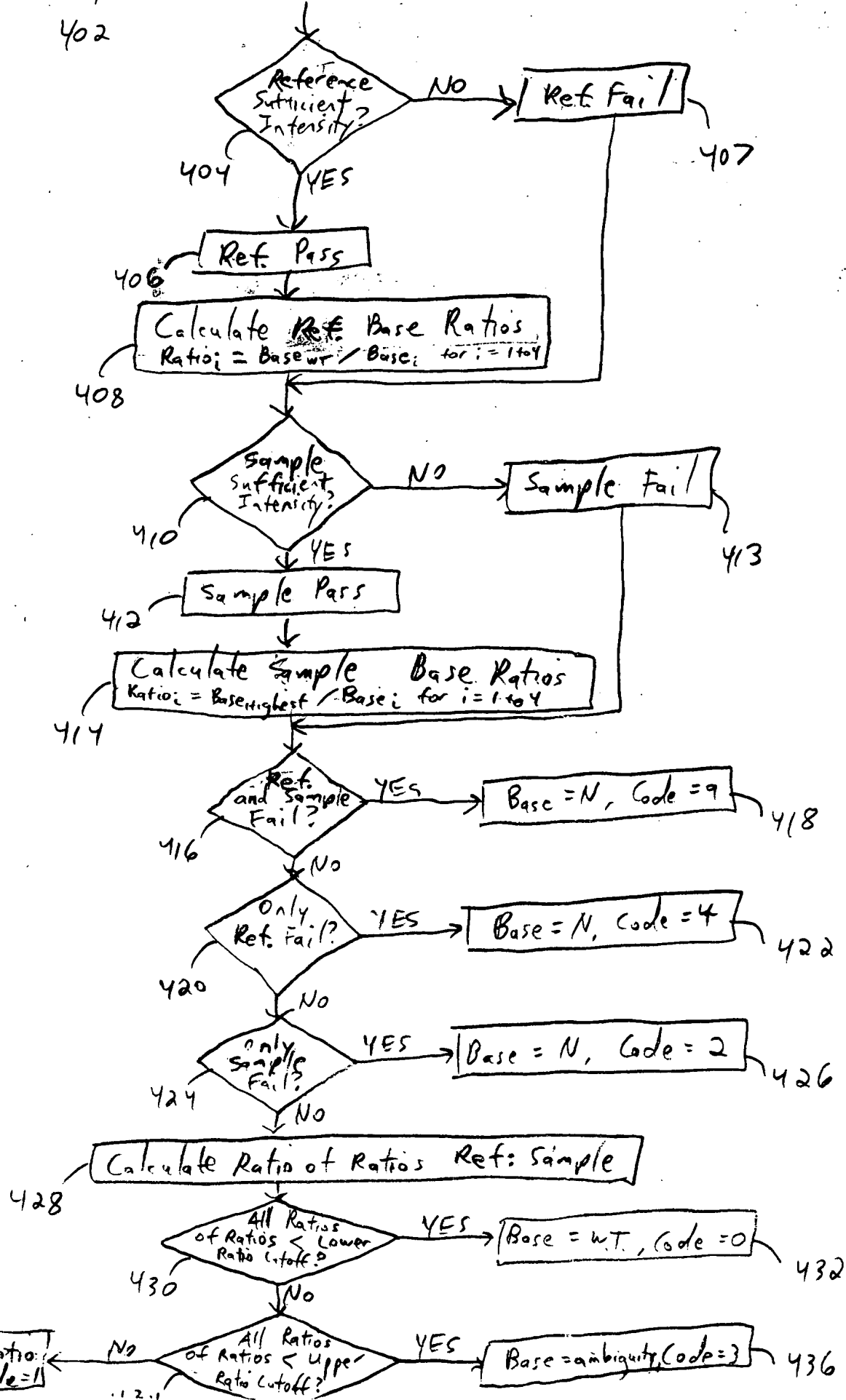


Fig. 4A

Position	Reference					Sample					Ratio of Ratios				
	A	T	C	G	T	Background	A	T	C	G	A/A	C/G	G/T	T/G	Base Content
463	C	P	7.2	9.9	1.0	5.6	P	6.4	2.3	1.0	14.5	1.1	4.3	1.0	0.4
1	2	3	4	5	6	7	8	9	10	11	12	13	14	15	16
														17	18

Fig. 4B

Subtract Background

18/327525

Reference
Method

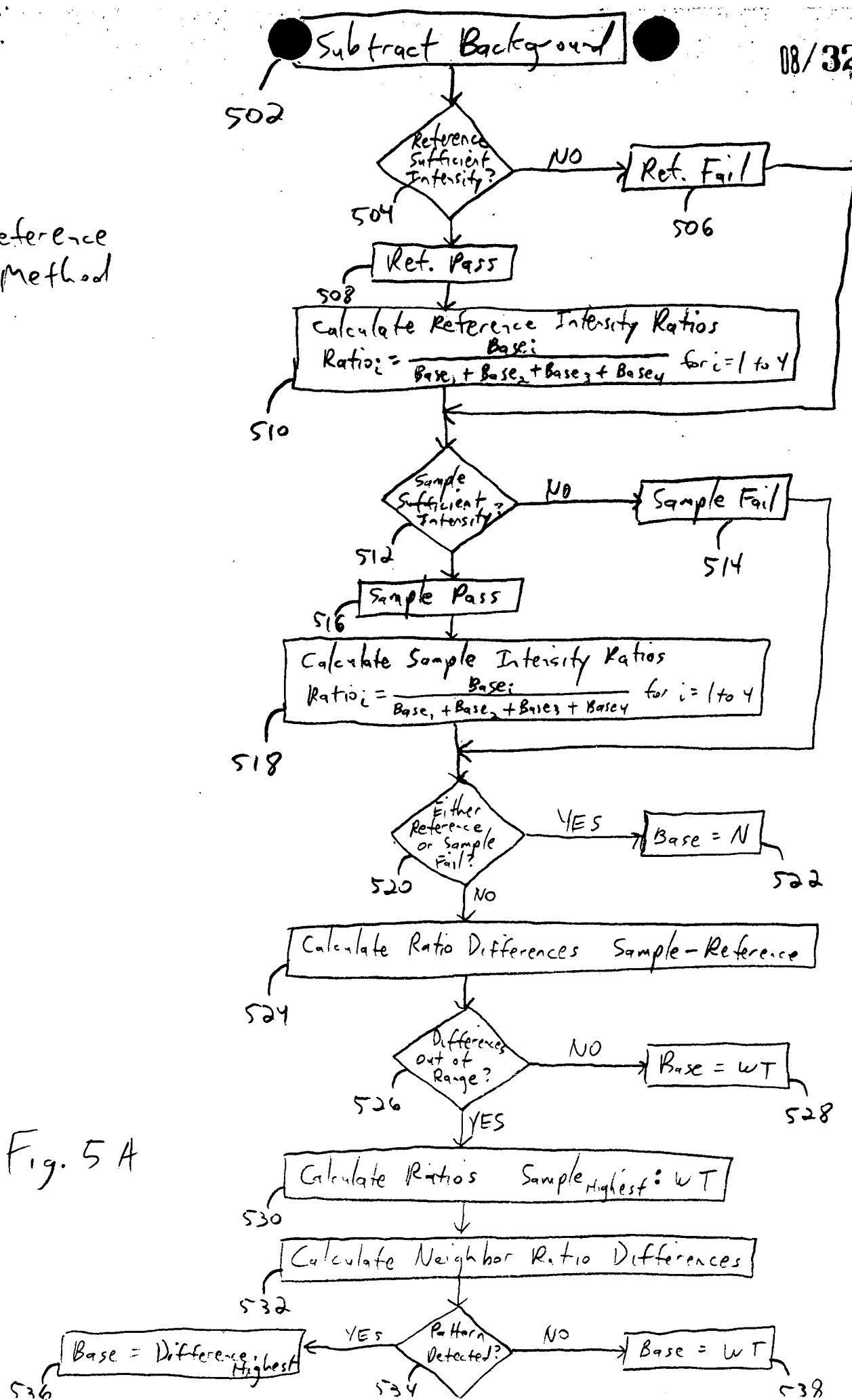


Fig. 5 A

08/327525

IS
501

BCK SUBTRACTED INTENSITIES																		
rv090203.cg1	-7	-6	-5	-4	-3	-2	-1	0	1	2	3	4	5	6	7	8	9	
Position:	234	235	236	237	238	239	240	241	242	243	244	245	246	247	248	249	250	
WildType:	A	A	A	C	C	C	A	A	T	C	C	A	C	A	T	C	A	
Called:	A	A	A	C	C	C	A	A	T	C	C	A	C	A	T	C	M	
a	148	193	165	17	70	38	282	388	97	31	18	158	15	223	178	128	154	
c	57	100	42	167	345	278	38	99	139	249	249	13	244	28	257	250	175	
g	26	32	20	16	65	17	27	107	100	13	9	11	10	30	142	59	55	
t	9	15	10	6	41	14	27	79	261	6	2	1	7	16	320	52	37	
r	240	340	238	207	522	347	374	671	598	298	279	182	276	298	898	487	421	
wR	148	193	165	167	345	278	282	388	281	249	249	158	244	223	320	250	154	
maxR	148	193	165	167	345	278	282	388	281	249	249	158	244	223	320	250	175	
mc090407.cg1																		
Position:	234	235	236	237	238	239	240	241	242	243	244	245	246	247	248	249	250	
WildType:	A	A	A	C	C	C	A	A	T	C	C	A	C	A	T	C	A	
Called:	M	M	A	C	X	C	A	X	X	C	C	A	C	A	X	X	M	
a	194	238	150	44	191	126	283	332	234	58	49	242	25	337	286	180	258	
c	209	291	74	202	337	277	74	199	175	259	288	27	376	65	379	324	234	
g	92	72	34	29	114	521	65	571	231	30	17	16	47	71	254	104	109	
t	25	39	16	11	98	29	68	205	267	11	8	5	23	57	427	97	85	
r	520	639	274	286	738	484	489	1307	906	357	362	291	472	529	1346	705	684	
wE	194	238	150	202	337	277	283	332	267	259	288	242	376	337	427	324	236	
maxE	209	291	150	202	337	277	283	571	267	259	288	242	376	337	427	324	256	
wtE/wtR	1.31	1.23	0.91	1.21	0.98	1.00	1.00	0.86	1.02	1.04	1.15	1.54	1.54	1.51	1.34	1.30	1.88	
maxE/wtR	1.42	1.51	0.91	1.21	0.98	1.00	1.00	1.48	1.02	1.04	1.15	1.54	1.54	1.51	1.34	1.30	1.66	
rH + n-r	0.79	-0.63	0.54	-0.28	0.01	0.14	0.94	0.14	-0.10	-0.27	0.38	0.04	0.14	-0.13	-0.40			
rH	0.09	-0.60	0.30	-0.24	0.02	0.01	0.48	-0.46	0.02	0.11	0.38	0.01	-0.04	-0.17	-0.04			
r-r	0.60	-0.30	0.24	-0.02	-0.01	-0.48	0.46	-0.02	-0.11	-0.38	-0.01	0.04	0.17	0.04	-0.38			
rH d(n-r)	-0.90	0.54	-0.25	0.01	-0.48	0.94	-0.48	-0.10	-0.27	0.38	0.04	0.14	-0.13					
r-r d(n-l)	-0.90	0.54	-0.25	0.01	-0.48	0.94	-0.48	-0.10	-0.27	0.38	0.04	0.14	-0.13					
(n-l) - (n-r)	0.29	0.07	0.22	0.02	0.49	0.02	0.44	0.13	0.50	0.39	0.03	0.21	0.21					
sub-c	-2.10	1.01	-0.73	0.00	-1.44	1.86	-1.40	-0.33	-1.03	0.36	0.06	0.08	-0.48					
SUM m/r / SUM wt intensities	2.16	1.88	1.15	1.39	1.41	1.39	1.31	1.95	1.52	1.20	1.30	1.60	1.71	1.78	1.50	1.45	1.63	
rH + n/r	2.50	1.46	2.18	2.04	2.05	1.61	2.77	2.04	1.71	1.89	2.17	2.03	2.22	1.88	1.86			
rH + n-r	0.22	-0.46	0.10	0.02	0.03	-0.38	0.54	-0.06	-0.21	-0.10	0.10	0.02	0.17	-0.11	-0.12			
rH	-0.26	-0.73	0.23	0.03	-0.02	-0.09	0.64	-0.43	-0.32	0.10	0.30	0.10	0.07	-0.27	-0.06			
r-r	0.73	-0.23	-0.03	0.02	0.09	-0.64	0.43	0.32	-0.10	-0.30	-0.10	-0.07	0.27	0.06	-0.16			
NORMALIZED INTENSITIES																		
WILDTYPE																		
A	0.61	0.57	0.70	0.08	0.13	0.11	0.75	0.57	0.16	0.10	0.07	0.87	0.06	0.75	0.20	0.26	0.37	
C	0.24	0.29	0.18	0.81	0.66	0.80	0.10	0.16	0.23	0.83	0.90	0.07	0.88	0.09	0.29	0.51	0.42	
G	0.11	0.09	0.08	0.08	0.12	0.05	0.07	0.16	0.17	0.04	0.03	0.06	0.04	0.10	0.16	0.12	0.13	
T	0.04	0.04	0.04	0.03	0.08	0.04	0.07	0.12	0.44	0.02	0.01	0.01	0.03	0.05	0.36	0.11	0.09	
MUTANT																		
a	0.37	0.37	0.55	0.15	0.26	0.26	0.58	0.26	0.26	0.16	0.14	0.83	0.05	0.84	0.21	0.26	0.37	
c	0.40	0.45	0.27	0.71	0.46	0.57	0.15	0.16	0.19	0.72	0.80	0.09	0.80	0.12	0.28	0.46	0.34	
g	0.18	0.11	0.12	0.10	0.15	0.11	0.13	0.44	0.25	0.08	0.05	0.06	0.10	0.13	0.19	0.15	0.16	
t	0.05	0.08	0.08	0.04	0.13	0.06	0.14	0.16	0.29	0.03	0.02	0.02	0.05	0.11	0.32	0.14	0.12	
MT - WT (NORMALIZED INTENSITIES)																		
Position:	234	235	236	237	238	239	240	241	242	243	244	245	246	247	248	249	250	
WildType:	A	A	A	C	C	C	A	A	T	C	C	A	C	A	T	C	A	
Called:	M	M	A	C	X	C	A	X	X	C	C	A	C	A	X	X	M	
a	-0.24	-0.20	-0.15	0.07	0.12	0.15	-0.18	-0.32	0.09	0.06	0.07	-0.04	0.00	-0.11	0.01	0.00	0.01	
c	0.17	0.16	0.09	-0.10	-0.20	-0.23	0.05	0.00	-0.04	-0.11	-0.10	0.03	-0.08	0.03	-0.01	-0.05	-0.07	
g	0.07	0.02	0.04	0.02	0.03	0.06	0.08	0.28	0.09	0.04	0.01	0.00	0.06	0.03	0.03	0.03	0.03	
t	0.01	0.02	0.02	0.01	0.05	0.02	0.07	0.04	-0.14	0.01	0.01	0.02	0.05	-0.04	0.03	0.04	0.04	

Fig. 5 B

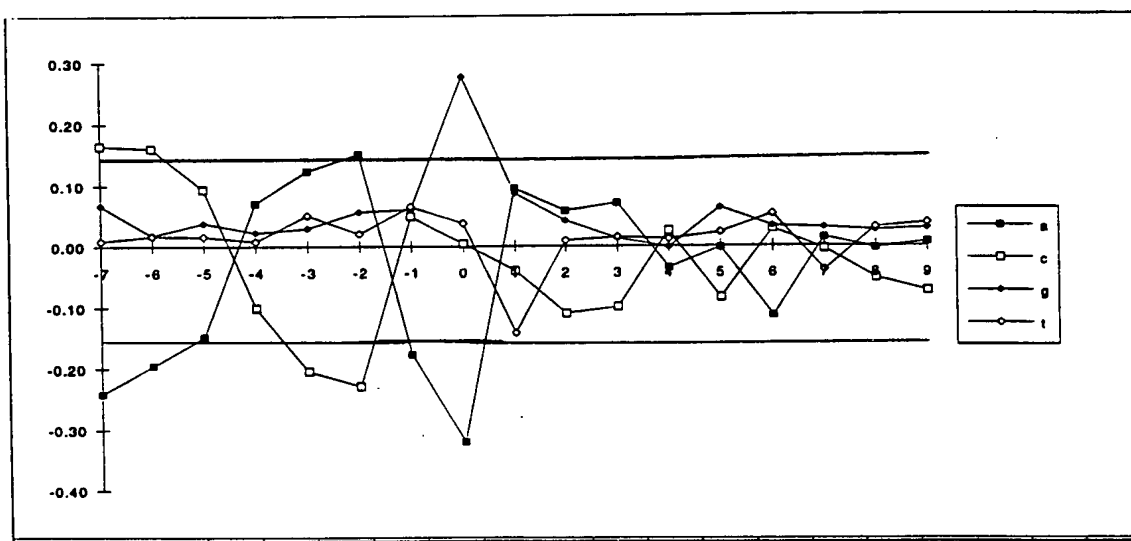


Fig. 5C

08/327525

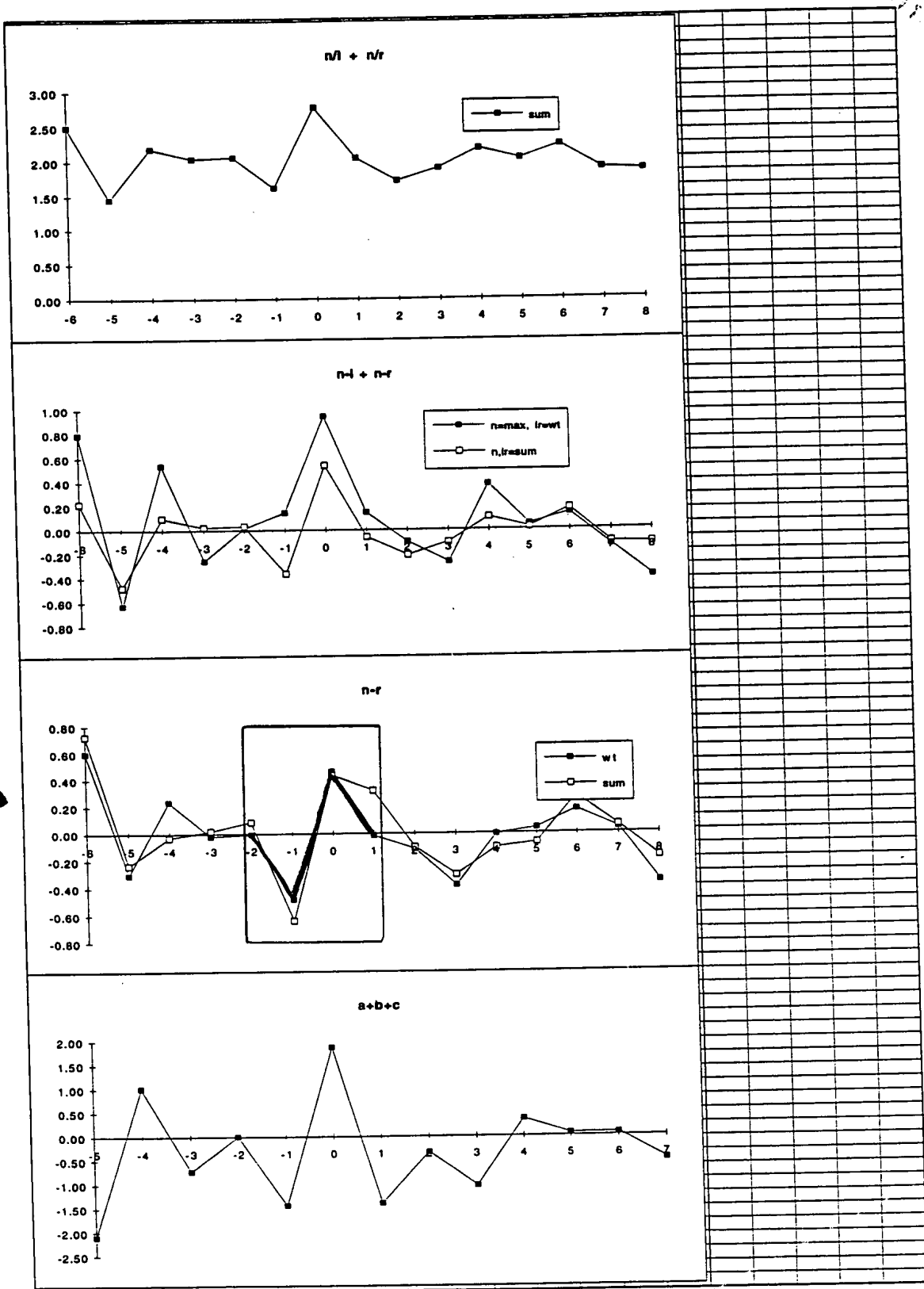


Fig. 5D

Statistical Method

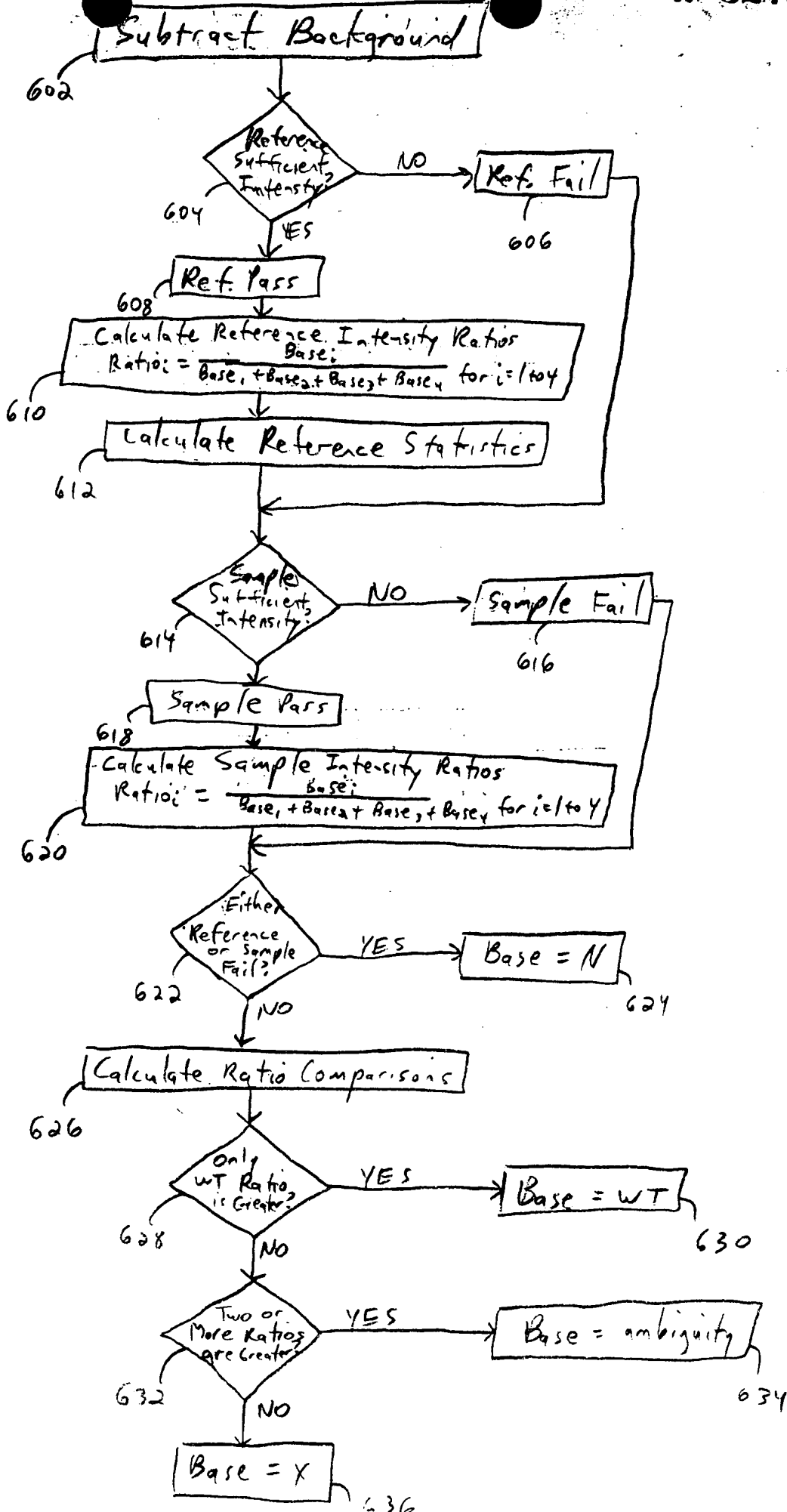


Fig 6

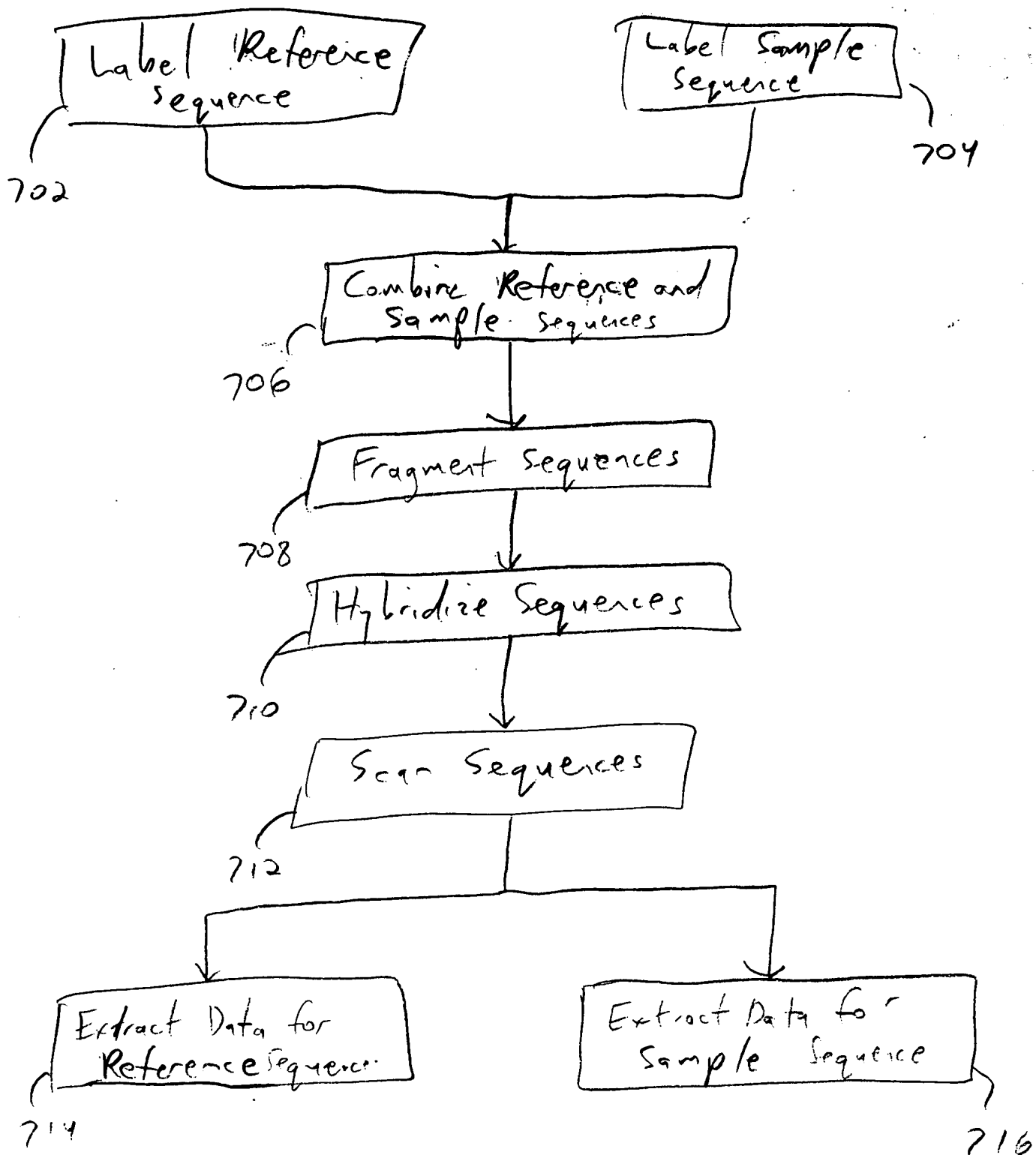


Fig. 7

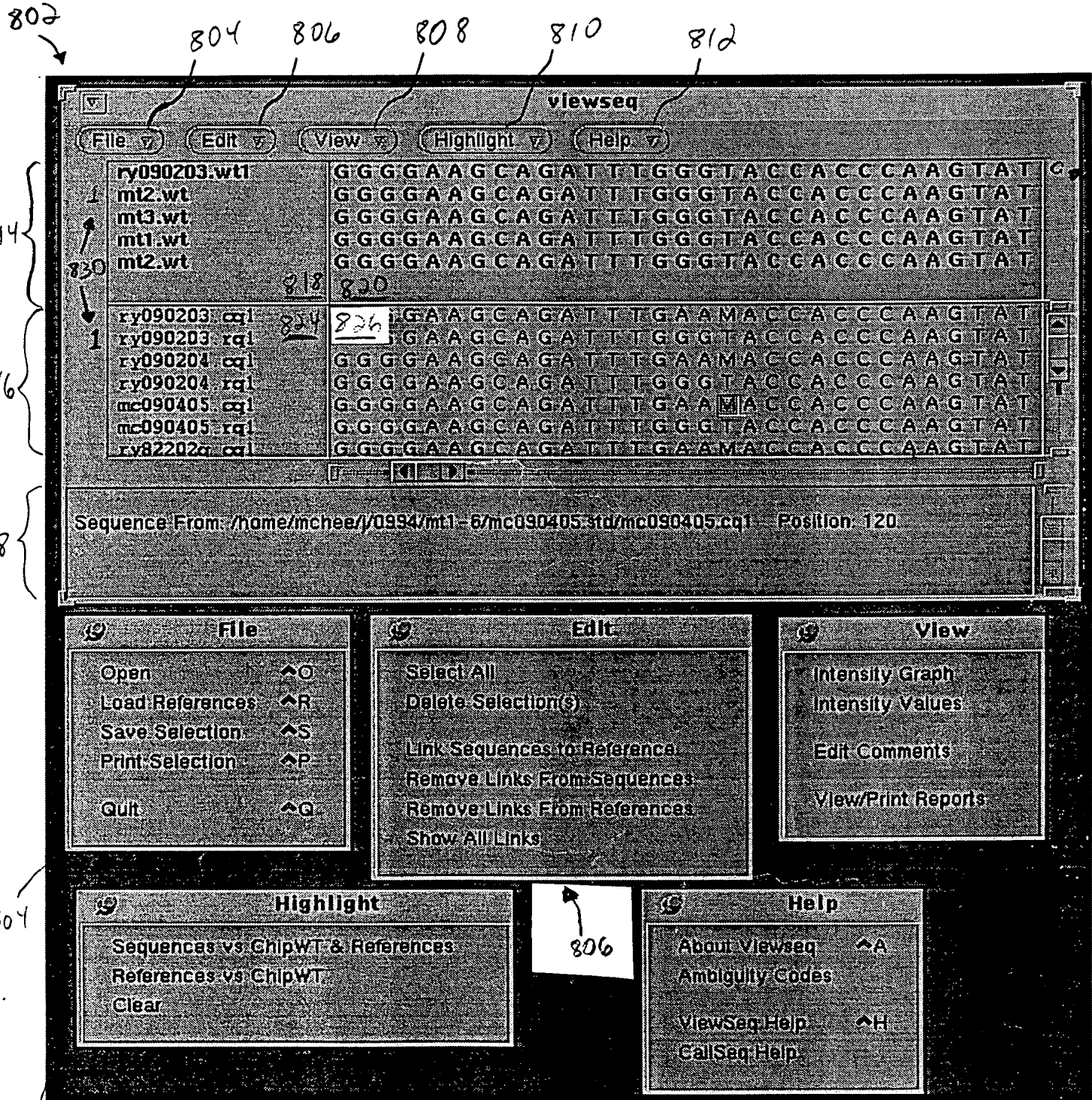


Fig. 8

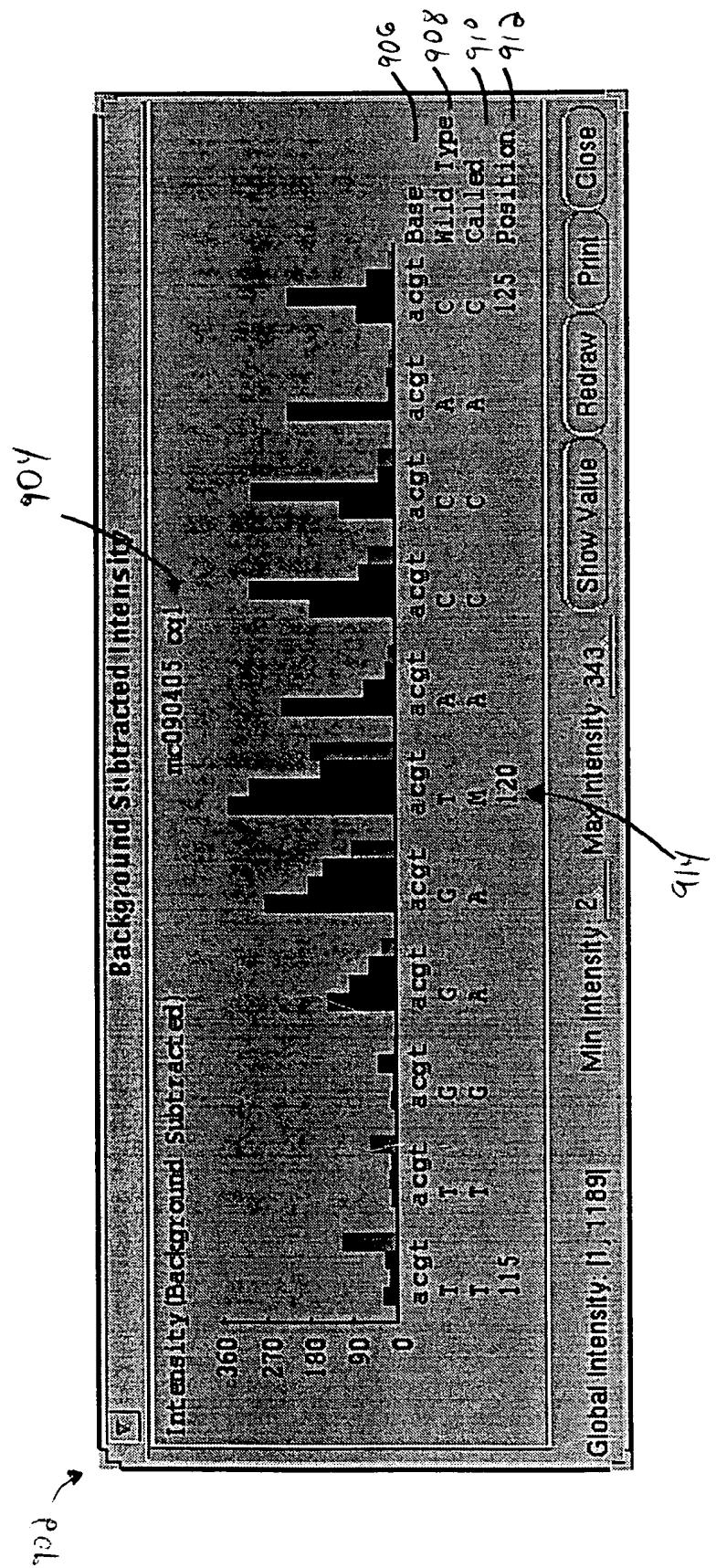
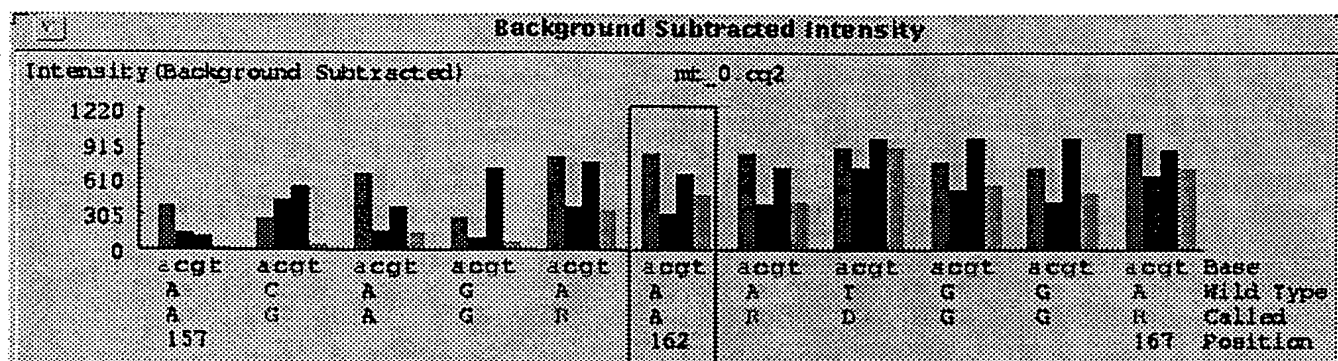


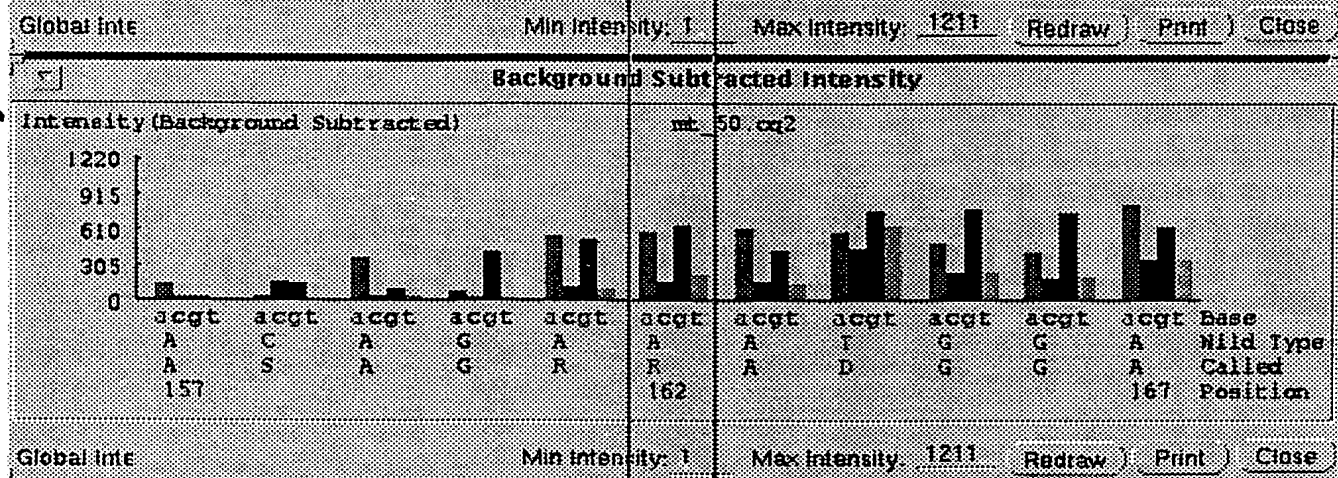
Fig. 9

18/327525

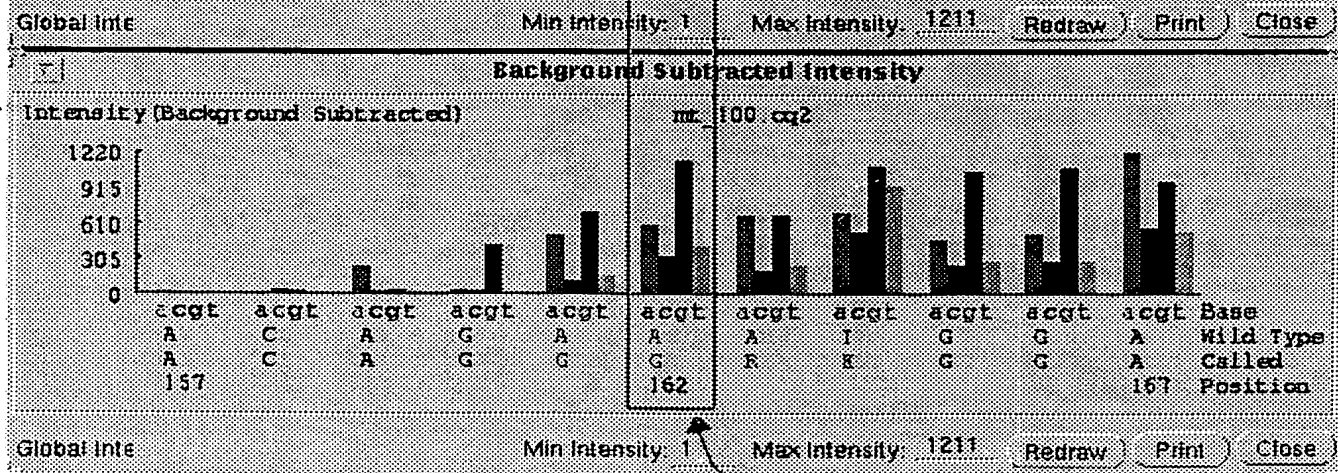
1002



1004



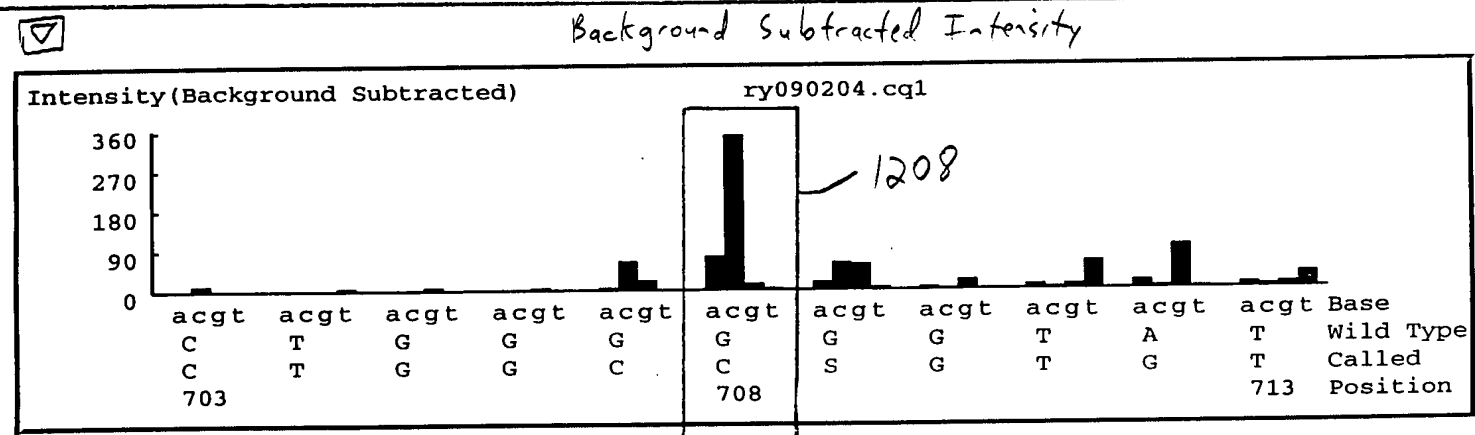
1005



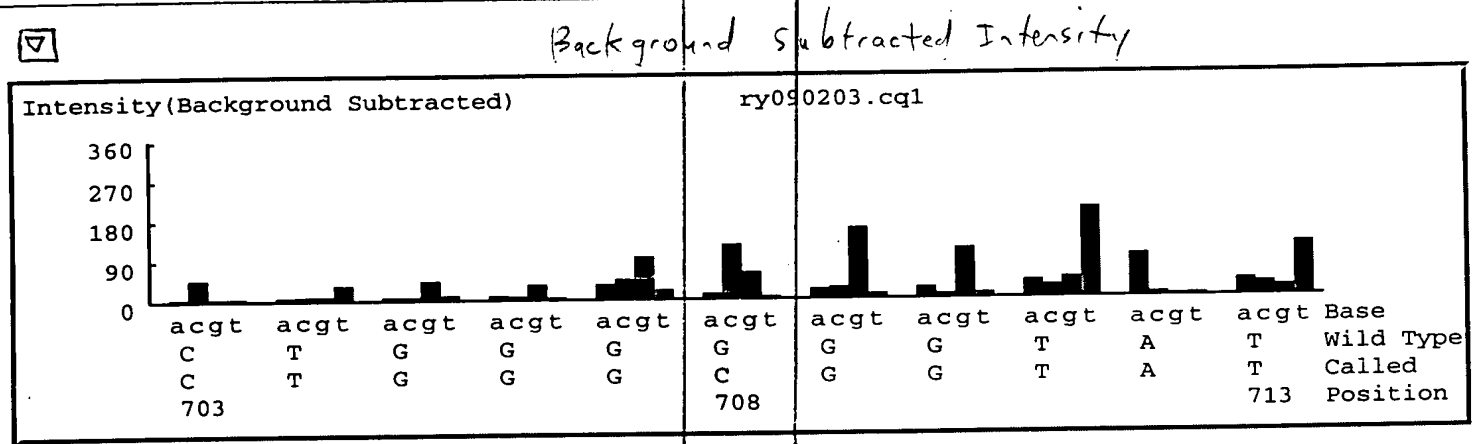
1008

Fig. 10

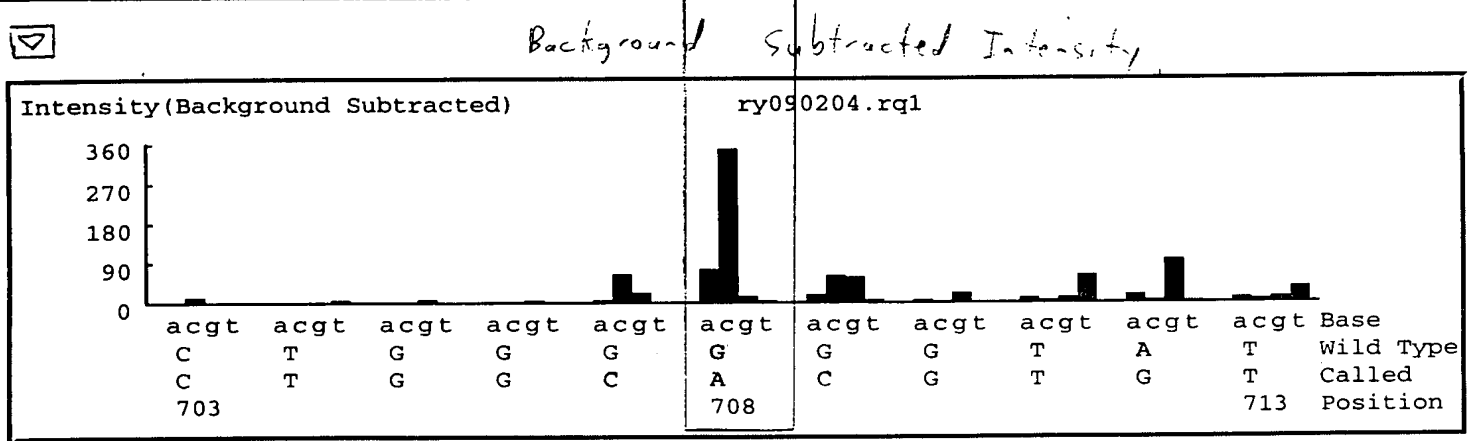
1202



204



206



CANCELLLED

Fig. 12

08/327525

Genotyping of HIV-1 Protease Gene in Pre- and Post- Treated Patients

↑
↑
↑

四